

Ошибки за влияние рефракции Δh носят систематический характер, а их значения и знак могут изменяться в зависимости от слоя, в котором выполняется нивелирование, удаления от края цеха и длины плеч. Так, в нижнем слое Δh положительны, если нивелирование выполняется от края цеха к его середине и отрицательны при нивелировании от середины цеха к противоположному краю.

В верхнем слое Δh отрицательны, если нивелирование выполняется от края цеха к средней линии, и положительны при нивелировании от средины к противоположному краю.

По абсолютной величине в обоих слоях ошибки максимальны у краев цеха и равны нулю на середине.

Из рис. 2 следует, что $\Delta h \leq 0,1$ мм длины плеч не должны превышать 10—15 м. При нивелировании осадочных марок вдоль цеха от начала к его середине ошибки в значениях осадок будут накапливаться с одним и тем же знаком и достигнут максимальных значений Δh на середине цеха (рис. 3). В процессе дальнейшего нивелирования вдоль цеха будет происходить компенсация ошибок в значениях осадок, так как их накопление будет проходить с обратным знаком. Таким образом, по значениям невязок полигонов невозможно с высокой точностью определить качество осадок.

Указанные ошибки еще более увеличиваются, если при нивелировании нельзя соблюсти равенство плеч. Для расчета ошибки за рефракцию положим, что существует разность Δd в расстояниях от нивелира до задней d_3 и передней d_1 реек, т. е.

$$d_3 = d_1 + \Delta d. \quad (4)$$

С учетом (2) ошибку в превышении запишем

$$\Delta h = \text{grad}_n n_3 \frac{d_3^2}{2} - \text{grad}_n n_1 \frac{(d_1 + \Delta d)^2}{2}. \quad (5)$$

По (5) подсчитаны ожидаемые ошибки в превышениях в случае неравенства плеч. На рис. 4, как пример, представлены значения ошибок при удалении нивелира на 20 м от начала цеха.

Если задаваться определенными значениями ошибок Δh , то при нивелировании в верхнем слое допустимые неравенства плеч могут быть больше, чем в нижнем слое.

В зависимости от местоположения нивелира в цехе в каждом конкретном случае необходимо рассчитывать допустимые неравенства плеч.

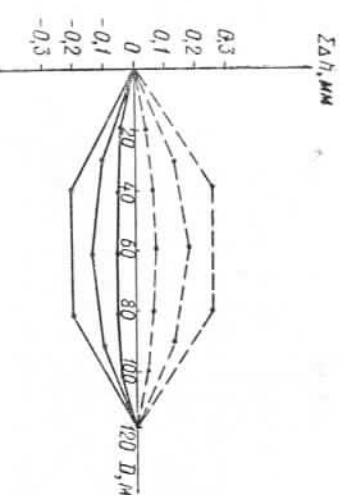


Рис. 3. Ошибки Δh , мм:
— нижний слой;
- - - верхний слой.

будут накапливаться с одним и тем же знаком и достигнут максимальных значений Δh на середине.

При измеренных превышениях можно вводить поправки по (3) и (5), предварительно изменив знак на обратный.

Для вычисления $\text{grad}_n n_i$ можно использовать (1), в которой с погрешностью не более $1 \cdot 10^{-7}$ величину A достаточно принять равной $-8 \cdot 10^{-7}$.

Статья поступила в редакцию 08.01.83

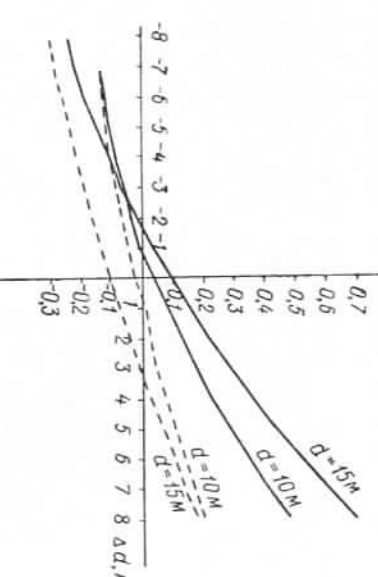


Рис. 4. Графики ошибок Δh , мм:
— нижний слой;
- - - верхний слой.

Так, для нашего примера при длинах плеч 10 м и $\Delta h \leq 0,1$ мм, расстояния до задней и передней реек не должны отличаться более чем на 1,5—2,0 м в нижнем слое и 3—4 м — в верхнем.

Таким образом, выполнняя высокоточное геометрическое нивелирование в газогурбинных цехах, необходимо придерживаться предложенных выше рекомендаций. В случае невозможности выдерживать допустимые для заданной точности длины и неравенства

При наземной топографической съемке, как и при картографировании автоматическими методами, возникает вопрос о необходимости и достаточном количестве пикетных точек для полного отображения морфометрических и морфографических характеристик рельефа [1]. Количество пикетных точек зависит от контуров и рельефа местности, а при картографировании малообжитых районов и шельфа определяется, главным образом, характером рельефа.

КАНАЛИЗУ РЕЛЬЕФА МЕСТОНОСТИ

Р. М. РУДЫН

Вполне очевидно, что густота высотных точек зависит от на-
значения и масштаба съемки, принятой высоты сечения и ха-
рактера рельефа. В отличие от первых трех факторов особенности
рельефа труднее выразить количественной характеристикой. Та-
кой фактор, как расщепленность рельефа, представляет несомнен-
ный интерес особенно при разработке автоматических методов
картирования, когда нельзя визуально оценить пересечен-
ность местности и другие ее характеристики, а также при съемке
шельфа, когда визуальный осмотр поверхности вообще затруд-
нительный.

Привлечение методов спектрального анализа позволяет оце-
нить степень расщепленности рельефа и классифицировать мест-
ность по типам в зависимости от степени пересеченности.

Пусть информация о рельефе местности представлена с по-
мощью отсчетов, взятых в узлах квадратной сети, т. е. функция

$$z = f(x, y) \quad (1)$$

определяется набором ее выборочных значений, взятых в диск-
ретных точках плоскости xy . Если эти точки-пикеты взяты достаточно
близко друг к другу, то выборочные данные хорошо пред-
ставляют рельеф местности. Если же пикеты взяты с увеличенным
интервалом, то отобразить с достаточной точностью картографируе-
мую местность сложно.

Вопрос об оптимальном интервале между пикетными точками
может быть решен с использованием теоремы В. А. Котельни-
кова. Применение данной теоремы позволяет установить соот-
ветствие между изменениями рельефа и высокими пространствен-
ными частотами в его спектре. Если спектр рельефа не содержит ре-
зых высоких пространственных частот, то такой рельеф не имеет ре-
зых перепадов отметок и пикетные точки могут располагаться
реже, если же спектру присущи высокие частоты, интервал между
пикетами следует выбирать меньше. В [3] приведена методика
вычисления оптимального интервала между пикетными точками
профиля. Так как профилирование можно вести в различных на-
правлениях, то для определения оптимального интервала между
пикетными точками для отображения рельефа местности необхо-
димо построить профили по всем возможным направлениям, что
не совсем удобно. На наш взгляд, для решения поставленной за-
дачи следует воспользоваться двумерной теорией выборки [2].
Используя двумерную теорию выборки, рельеф местности можно
безошибочно воспроизвести, если пикетные точки располагать че-
рез интервалы

$$\Delta x_0 = \frac{1}{2f_{x_0}}, \quad \Delta y_0 = \frac{1}{2f_{y_0}}, \quad (2)$$

где $\Delta x_0, \Delta y_0$ — искомые оптимальные интервалы вдоль осей x, y ;
 f_{x_0}, f_{y_0} — наивысшие частоты, присущие данному спектру.
Чем больше полоса частот, тем быстрее меняется рельеф и
тем чаще должны располагаться пикетные точки. Если функция

которой выражен рельеф местности, имеет различную полосу час-
тот в направлении осей x и y , то спектр $G(f_x, f_y) = 0$, если $f_x > f_{x_0}$
или $f_y > f_{y_0}$. В этом случае пикетные точки следует располагать
по прямоугольной сетке через интервалы $1/2f_{x_0}$ и $1/2f_{y_0}$ в направ-
лении осей x и y соответственно.

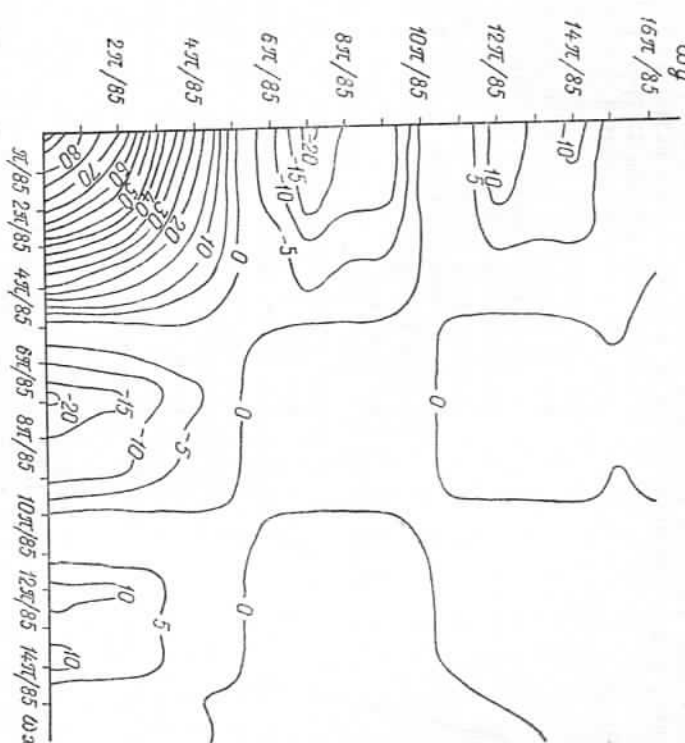


Рис. 1. Функция спектральной плотности, представленная с по-
мощью изолиний.

Для аналоговой функции $z = f(x, y)$, заданной на бесконечной
области, преобразование Фурье, создающее спектр Фурье $G(f_x, f_y)$,
выразим следующим образом:

$$G(f_x, f_y) = \iint_{-\infty}^{+\infty} f(x, y) \exp[-j2\pi(f_x x + f_y y)] dx dy. \quad (3a)$$

Если рельеф представлен с помощью функции, заданной дискрет-
но с конечными пределами, то преобразование Фурье, создающее
спектр Фурье $G'(f_x, f_y)$, определяем следующим выражением:

$$G'(f_x, f_y) = \sum_{z=0}^{N_1-1} \sum_{y=0}^{N_2-1} f(z, y) \exp\left[-j2\pi\left(\frac{z \cdot f_x}{N_1} + \frac{y \cdot f_y}{N_2}\right)\right]. \quad (3b)$$

В (3а) и (3б) $G'(f_x, f_y)$ — функция спектральной плотности;
 $f(x, y)$ — функция, выражающая рельеф в дискретных точках

плоскости xy ; x, y — плоские координаты точек; $0 \leq x \leq N_1$; $0 \leq y \leq N_2$; f_x, f_y — частоты в направлении осей x и y соответственно.

Как показано в [2], условия существования пары преобразований Фурье при использовании цифровых методов затруднений не вызывают.

В качестве примера по (3а) посчитана функция спектральной плотности для участка рельефа, который представляет собой поверхность, заданную отметками в перекрестиях сетки квадратов со стороной десять метров [4]. Таким образом, функция (1) представляется заданной на целочисленной сетке размером 17×17 перекрестий.

Для вычисления функции спектральной плотности составлена программа для ЭВМ ЕС 1022. Вычисления выполняли с двумя различными интервалами круговых частот ω_x и ω_y .

На рис. 1 показана функция спектральной плотности с помощью изолиний. В подилях изолиний не соблюдались требования, предъявляемые к подилям горизонталей. Так как функция $G'(f_x, f_y)$ является симметричной относительно осей координат, на рис. 1 она представлена только в одной четверти. При этом вычисления $G'(\omega_x, \omega_y)$ вели с интервалом частот $\pi/85$. В таблице приведены значения функции спектральной плотности, вычисленной с интервалами частот $\pi/17$. На рис. 2 показан профиль функции спектральной плотности вдоль оси ω_y при $\omega_x = 0$. Аналогичный профиль вдоль оси ω_x отличается только на высоких частотах.

При вычислении $G'(f_x, f_y)$ для участка рельефа, смешенного вдоль оси x на девять перекрестий, значения спектра изменялись весьма незначительно. Это свидетельствует об однородности рельефа (см. [4] рис. 1).

Для вычисления оптимального интервала между пикетными точками самым трудным является выбор предельных частот f_x и f_y . По аналогии с вычислением предельного значения спектральной плотности для одномерного преобразования Фурье представим предельное значение спектра как объем параллелепипеда с основанием, стороны которого равны предельным значениям x и y анализируемого участка местности, а высота соответствует допустимой погрешности измерения высот местности.

В нашем примере $\Delta x_0 \cong \Delta y_0 = 5$ интервалов, то есть примерно 50 м на местности.

Кроме того, по характеру поверхности (см. рис. 1), изображающей функцию спектральной плотности, можно классифицировать типы рельефа. Местность со спокойным рельефом имеет сильно пересеченную имеет спектр более пологий со сравнительно большим частотным интервалом.

Для проведения указанных исследований необходимо избыточное количество пикетных точек, поэтому их следует выполнять только по информации для картографирования, полученной автоматически.

Список литературы: 1. Бойко А. В. Методы и средства автоматизации топографических съемок. — М.: Недра, 1980. 2. Дуда Р., Харт П. Распознавание образов и анализ сцен. — М.: Мир, 1976. 3. Зайцев В. М., Лаврова В. Г.,



Рис. 2. Профиль функции спектральной плотности вдоль оси ω_y

ω_x	ω_y	0	$\pi/17$	$2\pi/17$	$3\pi/17$	$4\pi/17$	$5\pi/17$	$6\pi/17$	$7\pi/17$	$8\pi/17$	$9\pi/17$	$10\pi/17$	$11\pi/17$	$12\pi/17$	$13\pi/17$	$14\pi/17$	$15\pi/17$	$16\pi/17$
0	0	91471	459	112	116	-7	29	30	13	7	1	8	8	5	3	0	7	1
$\pi/17$	0	265	-128	64	14	-16	-2	-6	-1	-9	-2	-4	-1	-3	-2	-1	-1	-2
$2\pi/17$	0	-9	9	20	14	-22	-8	-5	-1	-2	-4	-1	-1	-3	-2	-1	-1	-2
$3\pi/17$	0	113	-59	-39	6	-6	-1	11	-2	1	-1	-2	-3	-3	-1	-2	-1	-2
$4\pi/17$	0	-56	7	-21	4	3	-2	-15	0	-4	-1	-2	-1	-3	-2	-1	-2	-5
$5\pi/17$	0	-83	-52	14	-7	12	6	1	-4	2	4	-5	-3	0	2	0	2	2
$6\pi/17$	0	122	70	-48	-25	-3	-5	-9	-6	0	2	-2	-7	-1	-5	-1	-1	-3
$7\pi/17$	0	-4	14	-3	1	-5	0	0	-2	-3	-2	-3	-1	-1	-2	-1	-1	-2
$8\pi/17$	0	-25	-10	8	4	-6	2	-1	0	0	3	0	-1	-2	0	-2	0	2
$9\pi/17$	0	-10	19	-8	-11	-6	1	-1	0	-2	2	1	-3	-1	-2	-1	-1	-2
$10\pi/17$	0	-30	-7	-5	-0	2	-3	1	-1	-2	1	0	0	-3	-2	0	-1	3
$11\pi/17$	0	-29	1	6	-10	-3	0	3	-6	-1	2	1	-4	-5	3	-3	3	-3
$12\pi/17$	0	16	14	4	-7	6	-6	-3	-5	0	-2	-4	0	-1	-3	-1	-1	-2
$13\pi/17$	0	-3	26	-13	-6	-3	1	-3	-3	0	-2	1	-2	-4	1	-4	4	4
$14\pi/17$	0	7	10	7	-1	-4	-1	1	2	-3	4	0	1	-4	0	-4	4	4
$15\pi/17$	0	-22	3	-15	9	1	-3	-1	-2	2	-3	2	-1	-1	-2	-1	-4	-4
$16\pi/17$	0	35	-1	11	15	7	-5	-9	-6	7	-5	-1	2	-1	-4	2	-1	-4

U_1 м предельное значение спектра равно примерно 25 единиц. Такому значению спектральной плотности, как видно из рис. 1 и 2, соответствуют значения круговых частот $\pi/17$ радиан.

Так как между круговыми частотами ω_x и ω_y существует зависимость

$$\omega_x = 2\pi f_x, \\ \omega_y = 2\pi f_y, \quad (4)$$

то оптимальные интервалы могут быть получены по формулам

$$\Delta x_0 = \frac{1}{\omega_x}; \quad \Delta y_0 = \frac{1}{\omega_y}. \quad (5)$$

В нашем примере $\Delta x_0 \cong \Delta y_0 = 5$ интервалов, то есть примерно 50 м на местности.

Кроме того, по характеру поверхности (см. рис. 1), изображающей функцию спектральной плотности, можно классифицировать типы рельефа. Местность со спокойным рельефом имеет сильно пересеченную имеет спектр более пологий со сравнительно большим частотным интервалом.

Для проведения указанных исследований необходимо избыточное количество пикетных точек, поэтому их следует выполнять только по информации для картографирования, полученной автоматически.

Чигирев А. А. Построение карт изолиний по стереомодели местности с помощью ЭВМ. — Теодолит и картография, 1973, № 4, 4. Рудый Р. М. Выделение структурных линий рельефа аналитическим методом. — Геодезия, картография и аэрофотосъемка, 1983, № 39.

УДК 551.224
И. Е. СУБОТИН, В. С. СТАРОВЕРОВ, П. М. ШЕВЧУК, Л. Й. БОНДАРЬ

О СОВРЕМЕННЫХ ВЕРТИКАЛЬНЫХ ДВИЖЕНИЯХ ЗЕМНОЙ КОРЫ ВДОЛЬ ТРАССЫ ТЕРНОПОЛЬ—КУРСК

С целью изучения вертикальных движений земной коры предпринятыми ГУГК в 1970—1971 гг. выполнено нивелирование I класса по линии Тернополь—Овруч—Бахмач—Курск протяженностью 1000 км. По указанной трассе ранее произведено трехкратное нивелирование для целей изучения направленности вертикальных движений земной поверхности во времени [2]. В настоящее время осуществляют уточнение предварительной карты скорости, составленной для территории западной половины европейской части СССР. При составлении карты скоростей учтены данные четырех нивелирования по трассе Тернополь—Курск, которые не согласуются по скорости и направлению движения с данными ранее опубликованных работ [2], [3].

Первоначальное нивелирование вдоль всей трассы составлено суммарными превышениями нивелирований различных лет с 1886 по 1932 гг., которое характеризуется данными [3], приведенными в табл. 1.

Таблица 1
Качество первого и повторного нивелирования

Наименование участков нивелирования	Первое нивелирование		Повторное нивелирование	
	Год выполн.	ср. кв. ошибки, мм	Год выполн.	ср. кв. ошибки, мм
Тернополь—Шепетовка	1939	$\pm 0,48$	1946—1948	$\pm 1,41$
Шепетовка—Бородичи	1932	$\pm 0,08$	1941	$\pm 0,23$
Бородичи—Нежин	1929	$\pm 1,55$	1942	$\pm 0,23$
Нежин—Бахмач	1915	$\pm 0,54$	1949	$\pm 0,40$
Бахмач—Ворожба	1921	$\pm 0,13$	1950	$\pm 0,05$
Ворожба—Курск	1886	$\pm 1,25$	1952	$\pm 0,05$
	1913—1929	$\pm 1,65$	1953	$\pm 0,12$
To же				

Из табл. 1 видно, что работы по первоначальному нивелированию на отдельных участках выполнены недостаточно качественно и в разное время. Повторное нивелирование хотя и относится

Статья поступила в редакцию 27.10.82
«Временным» наставлением по нивелированию I класса (1945 г.) и «Инструкций по нивелированию I, II, III и IV классов» (1961 г.).

Так как создание высотной основы по трассе Тернополь—Курск преследовало цели практического и научного характера (исследование движений земной коры), то при нивелировании были применены пресцизные нивелиры Ni—004 и трехметровые рейки, односторонние, штриховые с линварными шкалами. Нивелирование выполнялось способом совмещения. Длина визирного луча не превышала 50 м. Переходные точки служили костыли. Качество третьего (1954—1956) и четвертого (1970—1971) нивелирований оценивалось по разностям измеренных превышений в прямом и обратном направлениях. Случайные и систематические средние квадратические погрешности η и σ определялись по формулам [1]:

$$\eta_1^2 = \frac{1}{4n} \left[\frac{d_5^2}{r} \right], \quad \eta_{II}^2 = \frac{1}{4n} \left[\frac{d_6^2}{r} \right], \quad (1)$$

$$\sigma^2 = \frac{1}{4|L|} \left[\frac{S^2}{L} \right], \quad (2)$$

где n — число секций в ходе; r — длина секции; d_5 и d_6 — разности превышений двух нивелирований в секции; L — длина хода (участка); S — берется с графика, как разность ординат прямой, проведенной на графике симметрично относительно кривой однородного накопления разностей на соответствующем участке.

Среднюю квадратическую погрешность превышений из двух циклов определяли по формуле

$$m = \pm \sqrt{\eta_1^2 + \eta_{II}^2}. \quad (3)$$

Результаты вычислений приведены в табл. 2.

Из табл. 2 видно, что нивелирования I класса 1954—1956 и 1970—1971 гг. выполнены качественно и могут быть использованы для изучения вертикальных движений земной коры. Уравнивание скоростей вертикальных движений выполнено на ЭВМ ЕС 1022 с выдачей на печать уравненного значения скорости η_1 , которая не превышала 1 мм/г на 100 км. Были вычислены скорости для временных интервалов 1948—1956, 1956—1971 и 1948—1971 гг., по которым построены кривые I, II и III соответственно.